

Práctica 3

Representación de Superficies con ordenador

3.1. Enunciados de las Prácticas

Práctica A Del listado de superficies que viene a continuación sabemos que el punto $(0, 0)$ es un punto crítico. En esta práctica utilizamos el software matemático para obtener sus representaciones gráficas y comprobar que el carácter que el desarrollo de Taylor asigna al punto crítico $(0, 0)$ está conforme con el que se visualiza en el ordenador:

$$\begin{aligned}z_1 &= -(x^2 + y^2)e^{-2(x^2+y^2)}; & z_2 &= 2x^4 + 2y^4 - x^2 + 2xy - y^2; \\z_3 &= 8xy(1 - x^2 - 2y^2)^{1/2}; & z_4 &= x^2 + y^3; \\z_5 &= x^2 - xy^2 + y^8; & z_6 &= x^2 - xy^2 - y^4; \\z_7 &= x^2 - xy^2 + y^4; & z_8 &= (x^2 + y^2)^{2/3}; \\z_9 &= (1 + e^y) \cos(x) - ye^y; & z_{10} &= x^2 + y^4; \\z_{11} &= \cos(10x^2) + \cos(10y^2); & z_{12} &= \text{sen}(6xy); \end{aligned}$$

Práctica B Consideramos el recinto cerrado y acotado del plano $K = [-1, 1] \times [-1, 1]$ y en K la función real $f(x, y)$ definida por la igualdad:

$$f(x, y) = \frac{\text{sen}(1 + 2x^2 + y^2)}{5 + x + y}$$

Se pide:

1. Calcular todos los puntos críticos de f en K y determinar su carácter.
2. Determinar el máximo y el mínimo absoluto de f en K y donde se producen.

Práctica C Repetir el estudio de la práctica anterior para la función

$$g(x, y) = \frac{\text{sen}(1 + x^2 + y^2)}{3 + x + y}$$

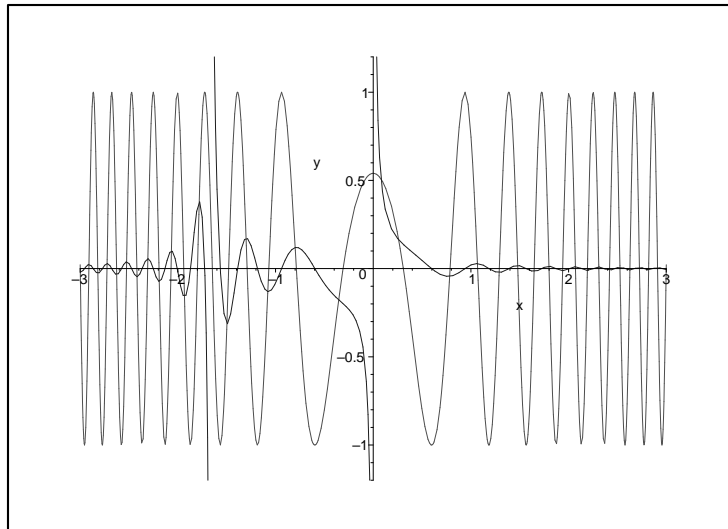


Figura 3.1: Representación de las funciones $h_1(x), h_2(x)$ cuando $-3 \leq x \leq 3$.

Práctica puntuable D Comprobar que la condición necesaria para $C \in \mathbb{R}^2$ sea un punto crítico de la función $f: \mathbb{R}^2 \rightarrow \mathbb{R}$, f la función de la práctica B:

$$f(x, y) = \frac{\text{sen}(1 + 2x^2 + y^2)}{5 + x + y}$$

es que $C = (\bar{x}, 2\bar{x})$ para \bar{x} cualquiera de los infinitos puntos en los que las funciones

$$h_1(x) = \cos(1 + x^2), \quad h_2(x) = \frac{\text{sen}(1 + 6x^2)}{20x + 12x^2}$$

toman el mismo valor. La representación de $h_1(x)$ y $h_2(x)$ cuando $-3 \leq x \leq 3$ se encuentra en la figura 3.1.

Por último, de la igualdad $\lim_{x \rightarrow \infty} h_2(x) = 0$ deducir la igualdad asintótica

$$\bar{x} \approx \pm \sqrt{\frac{(2k+1)\pi - 2}{12}}, \quad \text{para } k \in \mathbb{N} \text{ y } k \gg 0$$

3.2. Elementos necesarios

Cargamos los elementos necesarios para realizar la práctica

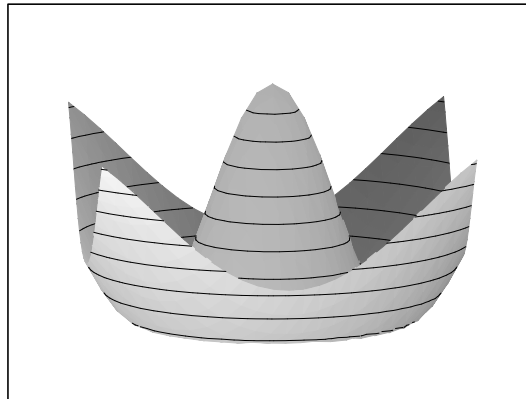
```
> with(plots):
> with(linalg):
> macro(kkk=(style=patchcontour));
      kkk
```

3.3. Primera superficie de la práctica A

```
> z:=- (x^2+y^2)*exp(-2*(x^2+y^2));
> Ho:=subs({x=0,y=0},hessian(z,[x,y]));
> plot3d(z,x=-1..1,y=-1..1,orientation=[85,75],kkk);
> H1:=subs({x=1/sqrt(2),y=0},hessian(z,[x,y]));
```

$$z := -(x^2 + y^2) e^{(-2x^2 - 2y^2)}$$

$$H_0 := \begin{bmatrix} -2e^0 & 0 \\ 0 & -2e^0 \end{bmatrix}$$



$$H_1 := \begin{bmatrix} 4e^{(-1)} & 0 \\ 0 & 0 \end{bmatrix}$$

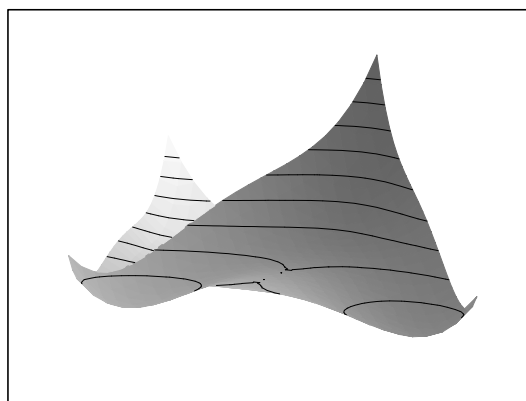
z_1 tiene en $(0,0)$ un máximo y en $(1/\sqrt{2}, 0)$ un quasi-mínimo que es un mínimo

3.4. Segunda superficie de la práctica A

```
> z:=2*x^4+2*y^4-x^2+2*x*y-y^2;
> Ho:=subs({x=0,y=0},hessian(z,[x,y]));
> plot3d(z,x=-1..1,y=-1..1,orientation=[-162,106],kkk);
```

$$z := 2x^4 + 2y^4 - x^2 + 2xy - y^2$$

$$H_0 := \begin{bmatrix} -2 & 2 \\ 2 & -2 \end{bmatrix}$$



En $(0,0)$ z_2 tiene un quasi-máximo que es un punto de ensilladura

3.5. Tercera superficie de la práctica A

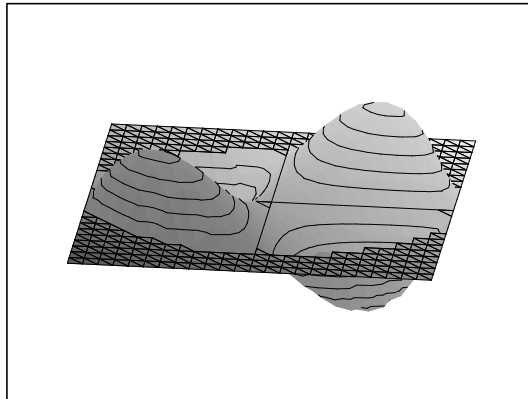
```

> z:=8*x*y*sqrt(1-x^2-2*y^2);
> zz:=8*x*y*sqrt(max(0,1-x^2-2*y^2));
> Ho:=subs({x=0,y=0},hessian(z,[x,y]));
> plot3d(zz,x=-1..1,y=-1..1,orientation=[-83,47],kkk);

```

$$z := 8xy \sqrt{1 - x^2 - 2y^2}$$

$$Ho := \begin{bmatrix} 0 & 8 \\ 8 & 0 \end{bmatrix}$$



En $(0,0)$ z_3 tiene una ensilladura. Representamos zz por problemas en el dominio.

3.6. Cuarta superficie de la práctica A

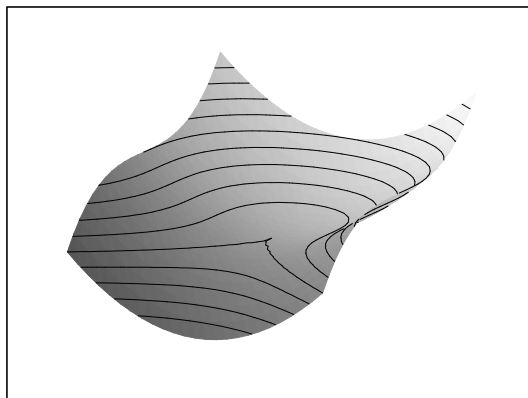
```

> z:=x^2+y^3;
> Ho:=subs({x=0,y=0},hessian(z,[x,y]));
> plot3d(z,x=-1..1,y=-1..1,orientation=[-59,68],kkk);

```

$$z := x^2 + y^3$$

$$Ho := \begin{bmatrix} 2 & 0 \\ 0 & 0 \end{bmatrix}$$



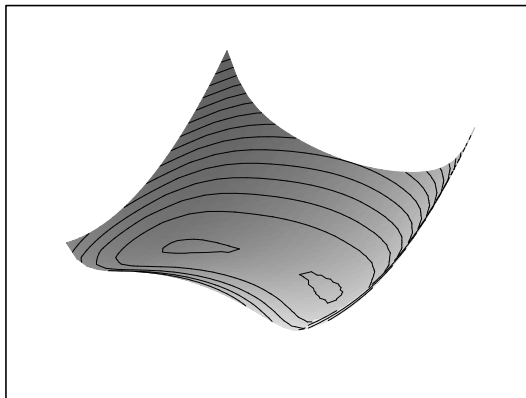
En $(0,0)$ z_4 tiene un quasi-mínimo que es un punto de ensilladura.

3.7. Quinta superficie de la práctica A

```
> z:=x^2-x*y^2+y^8;
> Ho:=subs({x=0,y=0},hessian(z,[x,y]));
> plot3d(z,x=-1..1,y=-1..1,orientation=[33,38],kkk);
```

$$z := x^2 - x y^2 + y^8$$

$$Ho := \begin{bmatrix} 2 & 0 \\ 0 & 0 \end{bmatrix}$$



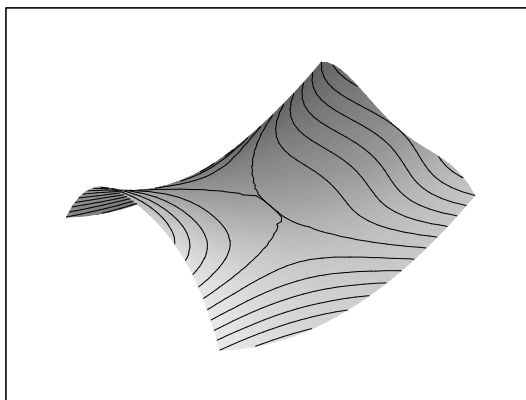
En $(0,0)$ z_5 tiene un quasi-mínimo que es un punto de ensilladura.

3.8. Sexta superficie de la práctica A

```
> z:=x^2-x*y^2-y^4;
> Ho:=subs({x=0,y=0},hessian(z,[x,y]));
> plot3d(z,x=-1..1,y=-1..1,orientation=[59,31],kkk);
```

$$z := x^2 - x y^2 - y^4$$

$$Ho := \begin{bmatrix} 2 & 0 \\ 0 & 0 \end{bmatrix}$$



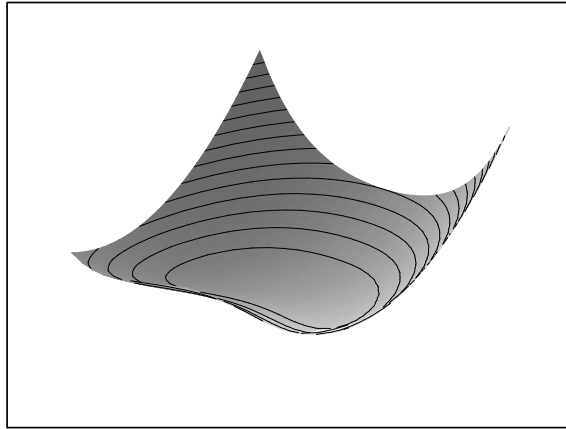
En $(0,0)$ z_6 tiene un quasi-mínimo que es un punto de ensilladura.

3.9. Séptima superficie de la práctica A

```
> z:=x^2-x*y^2+y^4;
> Ho:=subs({x=0,y=0},hessian(z,[x,y]));
> plot3d(z,x=-1..1,y=-1..1,orientation=[37,50],kkk);
```

$$z := x^2 - x y^2 + y^4$$

$$H_o := \begin{bmatrix} 2 & 0 \\ 0 & 0 \end{bmatrix}$$



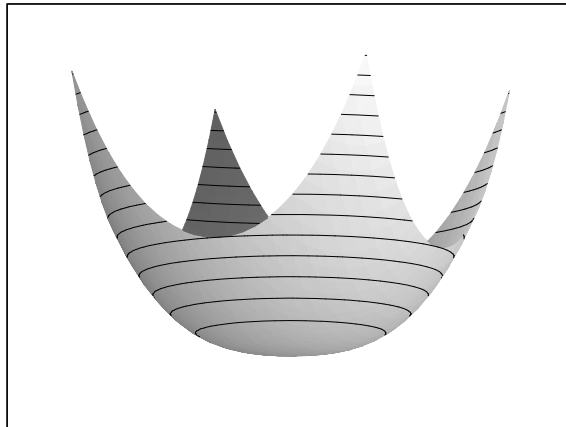
En $(0,0)$ z_7 tiene un quasi-mínimo que es un mínimo.

3.10. Octava superficie de la práctica A

- > $z := (x^2 + y^2)^{(3/2)}$;
- > $Taylor_z := mtaylor(z, [x, y], 3)$;
- > $plot3d(z, x=-1..1, y=-1..1, orientation=[26, 99], kkk)$;

$$z := (x^2 + y^2)^{(3/2)}$$

$$Taylor_z := 0$$



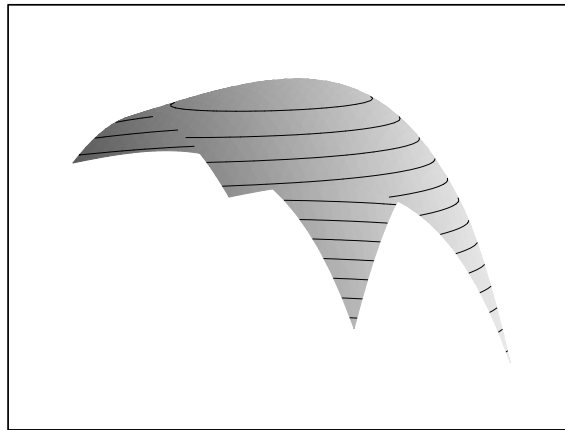
En $(0,0)$ z_8 tiene un extremo que es un mínimo.

3.11. Novena superficie de la práctica A

- > $z := (1 + \exp(y)) \cos(x) - y \exp(y)$;
- > $H_o := subs(\{x=0, y=0\}, hessian(z, [x, y]))$; $H_o := evalf(\%);$
- > $plot3d(z, x=-1..1, y=-1..1, orientation=[-29, 82], kkk)$;

$$z := (1 + e^y) \cos(x) - y e^y$$

$$H_o := \begin{bmatrix} -2. & -0. \\ -0. & -1. \end{bmatrix}$$



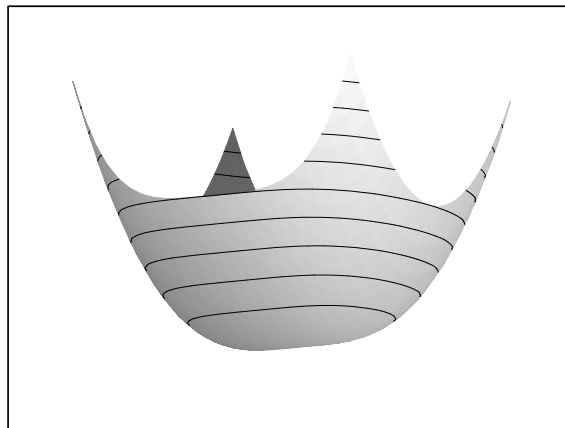
En $(0,0)$ z_9 tiene un máximo.

3.12. Décima superficie de la práctica A

- ```
> z:=x^2+y^4;
> Ho:=subs({x=0,y=0},hessian(z,[x,y]));
> plot3d(z,x=-1..1,y=-1..1,orientation=[30,102],kkk);
```

$$z := x^2 + y^4$$

$$Ho := \begin{bmatrix} 2 & 0 \\ 0 & 0 \end{bmatrix}$$



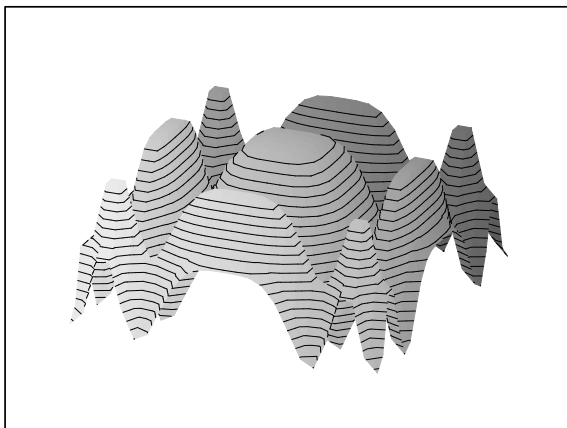
En  $(0,0)$   $z_{10}$  tiene un quasi-mínimo que es un mínimo.

### 3.13. Undécima superficie de la práctica A

- ```
> z:=cos(10*x^2)+cos(10*y^2);
> Ho:=subs({x=0,y=0},hessian(z,[x,y])): Ho:=evalf(%);
> plot3d(z,x=-1..1,y=-1..1,orientation=[113,52],kkk);
```

$$z := \cos(10x^2) + \cos(10y^2)$$

$$Ho := \begin{bmatrix} -0. & 0. \\ 0. & -0. \end{bmatrix}$$



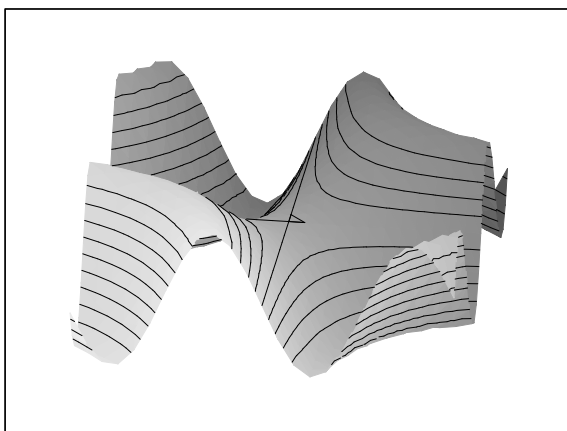
En $(0,0)$ z_{11} tiene un extremo de matriz hessiana nula que es un máximo.

3.14. Duodécima superficie de la práctica A

- ```
> z:=sin(6*x*y);
> Ho:=subs({x=0,y=0},hessian(z,[x,y])): Ho:=evalf(%);
> plot3d(z,x=-1..1,y=-1..1,orientation=[98,39],kkk);
```

$$z := \sin(6xy)$$

$$Ho := \begin{bmatrix} 0. & 6. \\ 6. & 0. \end{bmatrix}$$



En  $(0,0)$   $z_{12}$  tiene un punto de ensilladura.

### 3.15. Observaciones a lo obtenido en la práctica A

Como sabemos por la teoría un quasi-mínimo es un mínimo respecto a todas las direcciones excepto, posiblemente, a una. Con las superficies  $z_4, z_5, z_6, z_7$  podemos observar que todas tienen el mismo desarrollo de Taylor de orden 3 en  $P_0 = (0,0)$  de lo que se deduce que el carácter de  $P_0$  es, en todas ellas, un quasi-mínimo que es un mínimo respecto a todas las direcciones excepto, posiblemente, la dada por la recta  $r: y = x$ . Ahora, respecto a la recta  $r$  tenemos los siguientes comportamientos:



1.  $z_4$  en  $P_0$  y en la dirección  $r$  posee una inflexión. Esto implica que el carácter definitivo de  $P_0$  es el de un punto de ensilladura.
2.  $z_5$  en  $P_0$  y en la dirección  $r$  posee un mínimo. Esto implica que  $z_5$  respecto a todas las direcciones es un mínimo y, sin embargo, su carácter definitivo no es el de un mínimo relativo sino el de un punto de ensilladura, tal y como comprobamos a partir de su figura y sus curvas de nivel.
3.  $z_6$  en  $P_0$  y en la dirección  $r$  posee un máximo. Esto implica que el carácter definitivo de  $P_0$  es el de un punto de ensilladura.
4.  $z_7$  en  $P_0$  y en la dirección  $r$  posee un mínimo. De la figura concluimos que el carácter definitivo de  $P_0$  es el de mínimo relativo.

### 3.16. Solución de la práctica B

```
> f:=sin(1+2*x^2+y^2)/(5+x+y); # f expresión
> F:=unapply(f,(x,y)); # F es la función f
```

$$f := \frac{\sin(1 + 2x^2 + y^2)}{5 + x + y}$$

$$F := (x, y) \rightarrow \frac{\sin(1 + 2x^2 + y^2)}{5 + x + y}$$

```
> diff(f,x): fx:=simplify(%);
> diff(f,y): fy:=simplify(%);
```

$$fx := \frac{20 \cos(\%1) x + 4 \cos(\%1) x^2 + 4 \cos(\%1) x y - \sin(\%1)}{(5 + x + y)^2}$$

$$\%1 := 1 + 2x^2 + y^2$$

$$fy := \frac{10 \cos(\%1) y + 2 \cos(\%1) x y + 2 \cos(\%1) y^2 - \sin(\%1)}{(5 + x + y)^2}$$

$$\%1 := 1 + 2x^2 + y^2$$

```
> D1:=implicitplot(fx=0,x=-1..1,y=-1..1,numpoints=5000):
> D2:=implicitplot(fy=0,x=-1..1,y=-1..1,numpoints=5000,color=blue):
> display(D1,D2); r1:=fsolve({fx,fy},{x,y},x=-1..0, y=-1..0);
> r2:=fsolve({fx,fy},{x=0.1,y=0.2});
> r3:=fsolve({fx,fy},{x=0.3,y=0.4});
```

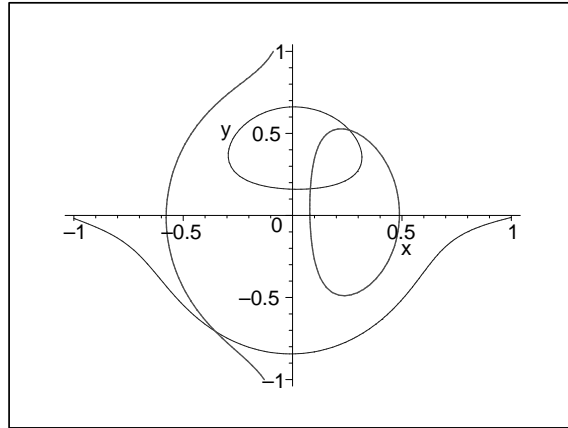


Figura 3.2: Cálculo de los puntos críticos de  $f$ , el lugar  $\frac{\partial f}{\partial x} = 0$  está resaltado con una línea más gruesa.

$$r1 := \{x = -0.3532064078, y = -0.7064128156\}$$

$$r2 := \{x = 0.08113279991, y = 0.1622655998\}$$

$$r3 := \{x = 0.2601448679, y = 0.5202897357\}$$

```
> plot3d(f,x=-1..1,y=-1..1);
```

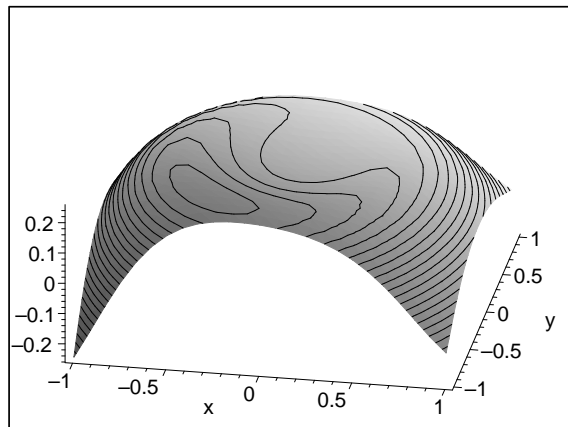


Figura 3.3: Representación gráfica de  $f$ .

```
> H1:=subs(r1,hessian(f,[x,y]));
> H1:=evalf(%);
> print('H1=',H1,det(H1),' Máximo');
> H2:=subs(r2,hessian(f,[x,y])); H2:=evalf(%);
> print('H2=',H2,det(H2),' Mínimo');
> H3:=subs(r3,hessian(f,[x,y])); H3:=evalf(%);
> print('H3=',H3,det(H3),' Silla');
```

$$H1 =, \begin{bmatrix} -0.6780625102 & -0.4985894744 \\ -0.4985894744 & -0.5883259924 \end{bmatrix}, 0.1503303352, \text{Máximo}$$

$$H2 =, \begin{bmatrix} 0.3691919090 & -0.01731737917 \\ -0.01731737917 & 0.1759372649 \end{bmatrix}, 0.06465472307, \text{Mínimo}$$

$$H3 =, \begin{bmatrix} -0.0712999613 & -0.1847862464 \\ -0.1847862464 & -0.1280431037 \end{bmatrix}, -0.02501648852, \text{Silla}$$

```
> F(-1,-1.); F(-1,1.); F(1,-1.); F(1,1.);
 -0.2522674984
 -0.1513604991
 -0.1513604991
 -0.1081146422
```

### 3.16.1. Conclusiones de los cálculos de la práctica B

De la figura 3.2 se deduce que la función  $f$  en  $K = [-1, 1] \times [-1, 1]$  tiene exactamente tres puntos críticos

$$p_1 = (x = -0.3532064078, y = -0.7064128156)$$

$$p_2 = (x = 0.08113279991, y = 0.1622655998)$$

$$p_3 = (x = 0.2601448679, y = 0.5202897357)$$

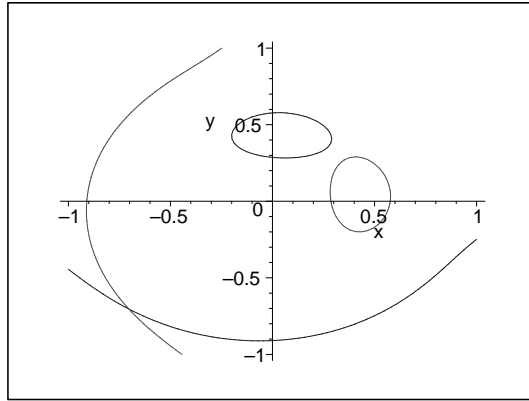
ahora, de la figura 3.3 y de los Hessianos  $H1$ ,  $H2$  y  $H3$ , se deduce:

1.  $p_1$  es el único máximo relativo de  $f$  en  $K$  y también es su máximo absoluto.
2.  $p_2$  es el único mínimo relativo de  $f$  en  $K$  y no es su mínimo absoluto.
3.  $p_3$  es el único punto de ensilladura de  $f$  en  $K$ .

Por último, de la figura 3.3, deducimos que el mínimo absoluto de  $f$  en  $K$  se alcanza en uno de los puntos  $(-1, -1)$ ,  $(-1, 1)$ ,  $(1, -1)$ ,  $(1, 1)$ , en el último cálculo realizado comprobamos que  $(-1, -1)$  es el mínimo absoluto de  $f$  en  $K$ .

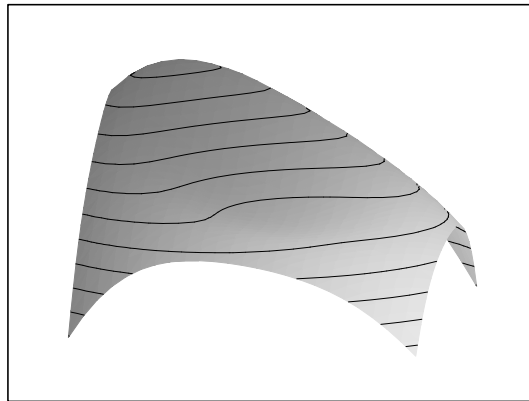
## 3.17. Solución de la práctica C

```
> g:=sin(1+x^2+y^2)/(3+x+y);
> G:=unapply(f,(x,y)); # F es la función f
 g := \frac{\sin(1 + x^2 + y^2)}{3 + x + y}
 G := (x, y) \to f
> diff(g,x): gx:=simplify(%);
> diff(g,y): gy:=simplify(%);
 gx := (6 cos(1 + x^2 + y^2) x + 2 cos(1 + x^2 + y^2) x^2 + 2 cos(1 + x^2 + y^2) x y
 - sin(1 + x^2 + y^2)) / (3 + x + y)^2
 gy := (6 cos(1 + x^2 + y^2) y + 2 cos(1 + x^2 + y^2) x y + 2 cos(1 + x^2 + y^2) y^2
 - sin(1 + x^2 + y^2)) / (3 + x + y)^2
> D1:=implicitplot(gx=0,x=-1..1,y=-1..1,numpoints=5000):
> D2:=implicitplot(gy=0,x=-1..1,y=-1..1,numpoints=5000,color=blue):
> display(D1,D2); r1:=fsolve({gx,gy},{x,y},x=-1..0);
```



$$r1 := \{x = -0.7037181428, y = -0.7037181428\}$$

```
> plot3d(g,x=-1..1,y=-1..1,orientation=[10,75],kkk);
```



```
> H1:=subs(r1,hessian(f,[x,y])): H1:=evalf(%); det(H1);
```

$$H1 := \begin{bmatrix} -1.647578064 & -1.135907921 \\ -1.135907921 & -1.647578064 \end{bmatrix}$$

1.424226672

```
> F(-1,-1.); F(-1,1.); F(1,-1.); F(1,1.);
```

0.1411200081

0.04704000270

0.04704000270

0.02822400162

El único punto crítico de la función  $g$  en  $K$  es  $r_1$ .  $r_1$  es un máximo relativo que es máximo absoluto y  $(1,1)$  es el mínimo absoluto de  $g$  en  $K$ .

# Práctica 4

## Movimiento Armónico

### 4.1. Enunciado de la Práctica

Ver [AKLo], vol. I, p. 377.

Una partícula de masa  $0.5 \text{ [kg]}$  se mueve sobre el eje horizontal  $Ox$  en un medio resistente o viscoso (por ejemplo, un líquido o un gas) bajo la influencia de la fuerza elástica de dos resortes (ver figura 4.1) que actúan según la ley de Hooke; esta ley establece que la fuerza elástica está dirigida hacia la posición de equilibrio y es proporcional a la desviación a partir de dicha posición de equilibrio. Supongamos que la posición de equilibrio equivale a  $x = 0$  y que la fuerza elástica es  $-kx \text{ [N]}$  ( $k > 0$ ).



Figura 4.1: Partícula bajo la acción de la fuerza elástica de dos resortes.

Además, la resistencia del medio es proporcional a la velocidad de la partícula e igual a  $-\lambda \frac{dx}{dt} \text{ [N]}$  ( $\lambda > 0$ ).

Sabiendo que la posición inicial de la partícula es la de reposo en  $x = 4$ , se pide determinar:

- La ecuación diferencial que describe el movimiento cuando la partícula está sometida, además, a la acción de una fuerza externa de magnitud  $E(t) \text{ [N]}$ .
- La posición  $x(t)$ ,  $t$  en segundos, de la partícula en el caso  $\lambda = 0$ ,  $k = 2$ ,  $E(t) = 0$ .
- La posición  $x(t)$  de la partícula en el caso  $\lambda = 0.5$ ,  $k = 2.125$ ,  $E(t) = 0$ .
- La posición  $x(t)$  de la partícula en el caso  $\lambda = 0$ ,  $k = 9$ ,  $E(t) = 40 \cdot \cos(5t)$ .
- La posición  $x(t)$  de la partícula en el caso  $\lambda = 0$ ,  $k = 9$ ,  $E(t) = 2 \cos 2t$ .
- Para  $t \in [0, 10]$ , calcular la máxima amplitud del movimiento en el caso d).
- ¿En qué instantes alcanza la partícula la posición de equilibrio en los casos b) y c)?

## 4.2. Ecuación del movimiento

Teniendo en cuenta que la fuerza a la que se ve sometida nuestra partícula coincide con el producto de su masa por su aceleración, i.e.,  $F = m \cdot \frac{d^2x}{dt^2}$ , resulta que:

$$m \cdot \frac{d^2x}{dt^2} = -kx - \lambda \frac{dx}{dt} \quad (4.1)$$

de lo que resulta que la ecuación diferencial que describe el desplazamiento,  $x(t)$ , de nuestra partícula en función del tiempo  $t$  tiene la forma

$$x'' + \frac{\lambda}{m}x' + \frac{k}{m}x = 0, \quad \lambda \geq 0, k \geq 0 \quad (4.2)$$

Esta ecuación se transforma en la más general

$$x'' + \frac{\lambda}{m}x' + \frac{k}{m}x = \frac{E(t)}{m}, \quad \lambda \geq 0, k \geq 0 \quad (4.3)$$

en aquellos casos en que además nuestra partícula se encuentra sometida a una fuerza exterior de  $E(t)$  [N].

## 4.3. Elementos necesarios

```
> restart;
> with(plots):
```

Warning, the name changecoords has been redefined

## 4.4. Apartado b: Movimiento armónico simple

```
> ecB:=(D@@2)(x)(t)+4*x(t)=0;
> ini:=x(0)=4,D(x)(0)=0; dsolve({ecB,ini},x(t)); xB:=rhs(%);
> plot(xB,t=0..20);
```

$$\begin{aligned} ecB &:= (D^{(2)})(x)(t) + 4x(t) = 0 \\ ini &:= x(0) = 4, D(x)(0) = 0 \\ x(t) &= 4 \cos(2t) \\ xB &:= 4 \cos(2t) \end{aligned}$$

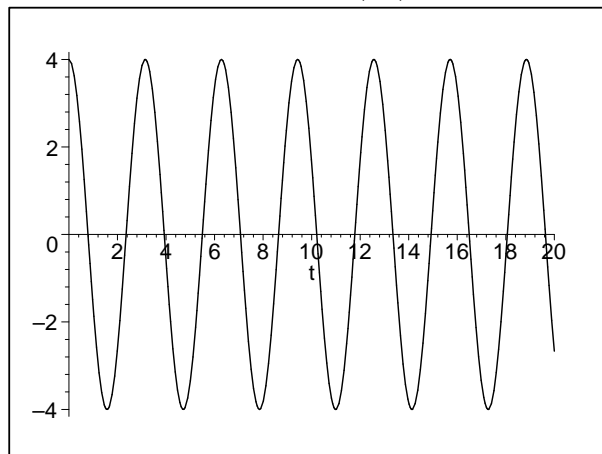


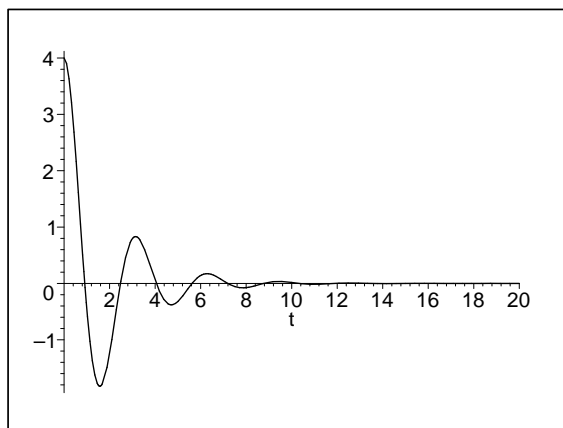
Figura 4.2: Movimiento armónico simple

## 4.5. Apartado c: Movimiento armónico amortiguado

```
> ecC:=(D@@2)(x)(t)+D(x)(t)+(425/100)*x(t)=0;
> dsolve({ecC,ini},x(t)): xC:=rhs(%);
> plot(xC,t=0..20);
```

$$ecC := (D^{(2)})(x)(t) + D(x)(t) + \frac{17}{4} x(t) = 0$$

$$xC := e^{(-\frac{t}{2})} \sin(2t) + 4 e^{(-\frac{t}{2})} \cos(2t)$$



Figuras 4.3: Movimiento armónico amortiguado

## 4.6. Apartados d,f: Movimiento armónico forzado

```
> ecD:=(D@@2)(x)(t)+18*x(t)=80*cos(5*t);
> dsolve({ecD,ini},x(t)): xD:=rhs(%);
> plot(xD,t=0..20);
```

$$ecD := (D^{(2)})(x)(t) + 18 x(t) = 80 \cos(5 t)$$

$$xD := \frac{108}{7} \cos(3 \sqrt{2} t) - \frac{80}{7} \cos(5 t)$$

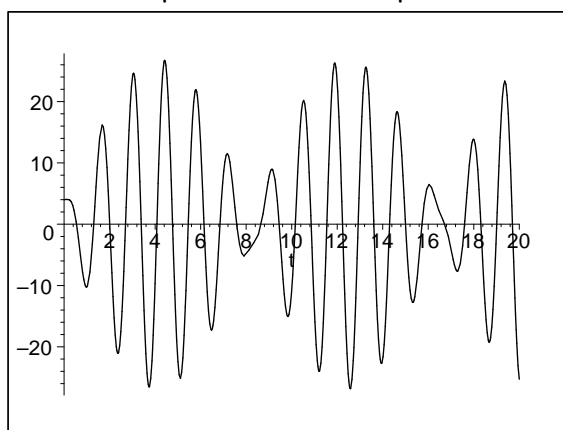
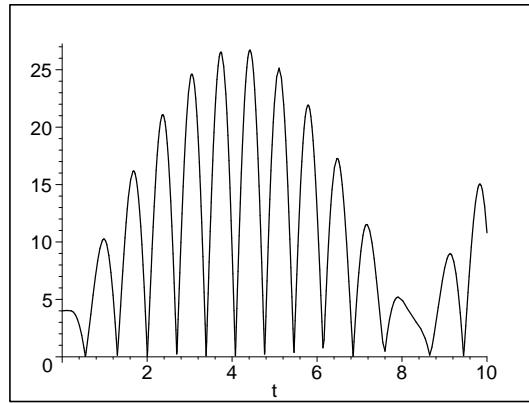


Figura 4.4: Movimiento armónico con interferencia

Vamos ahora a comprobar que la máxima amplitud del caso d) cuando  $t \in [0, 10]$  es  $A_m = 26.71686747$  [m] para ello utilizamos el listado:

```
> plot(abs(xD),t=0..10);
```



```
> dxD:=diff(xD,t); t0:=fsolve(dxD,{t=4.3});
> Am:=subs(t0,xD);
> Am:=evalf(Am);
```

$$dxD := -\frac{324}{7} \sin(3\sqrt{2}t)\sqrt{2} + \frac{400}{7} \sin(5t)$$

$$t0 := \{t = 4.420244699\}$$

$$Am := \frac{108}{7} \cos(13.26073410\sqrt{2}) - \frac{80}{7} \cos(22.10122350)$$

$$Am := 26.71686747$$

De la representación gráfica de  $|x_D(t)|$ ,  $t \in [0, 10]$ , vemos que el máximo se consigue cerca de  $t = 4.3$ , la exactitud la conseguimos con la instrucción `t0:=fsolve(dxD,{t=4.3})`; y el cálculo de la amplitud máxima con las dos últimas instrucciones.

#### 4.7. Apartado e: Movimiento armónico en resonancia

```
> ecE:=(D@@2)(x)(t)+4*x(t)=4*cos(2*t);
> dsolve({ecE,ini},x(t)): xE:=rhs(%);
> plot(xE,t=0..20);
```

$$ecE := (D^{(2)})(x)(t) + 4x(t) = 4\cos(2t)$$

$$xE := 4\cos(2t) + \sin(2t)t$$

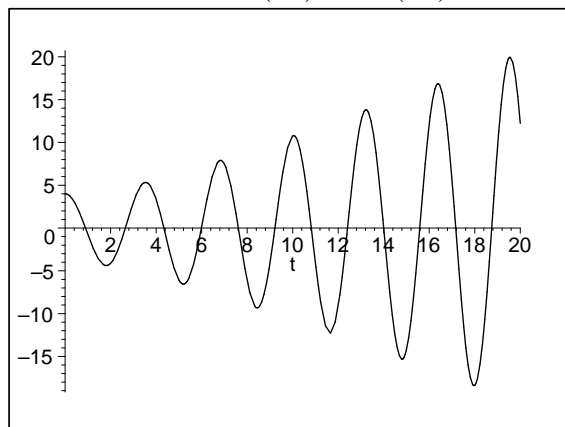


Figura 4.5: Movimiento armónico en resonancia

Según podemos observar por el gráfico, y con mayor certeza a partir de la expresión de  $x_E(t)$ , la amplitud de  $x_E(t)$  aumenta según lo hace  $t$  y, por ello, su amplitud máxima es infinita.



## 4.8. Solución al apartado g

Allí donde la  $x$  se hace cero. Tal como hemos visto en el anterior apartado se verifica que las soluciones  $x_B(t)$ ,  $x_C(t)$  de los apartados b) y c) tienen, respectivamente, la expresión

$$x_B(t) = 4 \cos 2t; \quad x_C(t) = e^{-t/2}(4 \cos 2t + \operatorname{sen} 2t) \quad (4.4)$$

teniendo en cuenta la igualdad  $\operatorname{sen}(\alpha + 2t) = \operatorname{sen} \alpha \cos(2t) + \cos \alpha \operatorname{sen}(2t)$  podemos poner

$$\begin{aligned} 4 \cos 2t + \operatorname{sen} 2t &= \sqrt{17} \left( \frac{4}{\sqrt{17}} \cos 2t + \frac{1}{\sqrt{17}} \operatorname{sen} 2t \right) \\ &= \sqrt{17} \operatorname{sen}(\alpha + 2t) \end{aligned} \quad (4.5)$$

a condición de que  $\alpha = \operatorname{arctg}(4) = 1.3258$ , con lo cual

$$x_B(t) = 4 \cos 2t; \quad x_C(t) = \sqrt{17} e^{-t/2} (\operatorname{sen}(\alpha + 2t)) \quad (4.6)$$

y ahora ya es fácil observar que las posiciones de equilibrio se consiguen, respectivamente, en los puntos

$$\begin{aligned} P_B &= \left\{ \frac{\pi}{4} + k\frac{\pi}{2}; \quad k \geq 0 \right\} = \{0.7854 + k\frac{\pi}{2}; \quad k \geq 0\} \\ P_C &= \left\{ \frac{k\pi - 1.3258}{2}; \quad k \geq 1 \right\} = \{0.9079 + k\frac{\pi}{2}; \quad k \geq 0\} \end{aligned} \quad (4.7)$$

## 4.9. Animaciones

Damos como ejemplo las instrucciones necesarias para producir la animación del movimiento de la partícula sometida a las condiciones del caso b):

```
> XA:=unapply(xA,t);
 XA := t → 4 cos(2t)
> for i from 0 to 200 do
> p[i]:=plot([[XA(0.1*i),0]],x=-4.5..4.5,style=point,symbol=circle)
> end do:
> display([seq(p[i],i=0..200)],insequence=true);
```

## 4.10. Espacio de Fases y de Flujo

La ecuación diferencial  $ecB: D^2x + 4x = 0$  se puede poner en su forma equivalente:

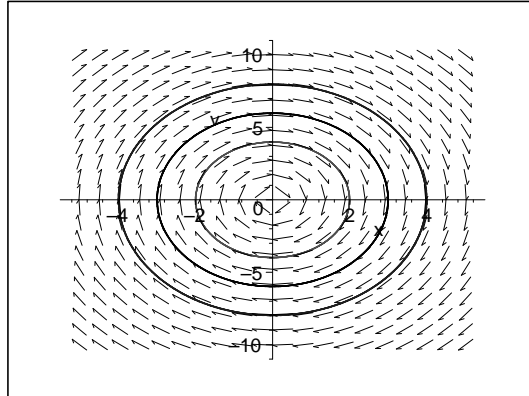
$$ECb: \begin{cases} Dx = v \\ Dv = -4x \end{cases} \quad (4.8)$$

Ahora la representación del campo vectorial  $X = v \frac{\partial}{\partial x} - 4x \frac{\partial}{\partial v} \equiv (v, -4x)$  y la pintura de la solución de  $ecB$  y de otras dos equivalentes en el espacio de fases  $(X,V)$  nos queda:

```
> with(DEtools):
> ECb:=[D(x)(t)=v(t),
> D(v)(t)=-4*x(t)];
```

- > DEplot(ECb, [x(t), v(t)],
- > t=0..20, x=-5..5, v=-10..10, [[x(0)=4, v(0)=0], [x(0)=3, v(0)=0],
- > [x(0)=2, v(0)=0]]);

$$ECb := [D(x)(t) = v(t), D(v)(t) = -4x(t)]$$



Haciendo lo análogo en el caso ecC nos queda:

- > ECc := [D(x)(t) = v(t),
- > D(v)(t) = -D(x)(t) - (425/100)\*x(t)]; DEplot(ECc, [x(t), v(t)], t=0..20,
- > x=-5..5, v=-6..6, [[x(0)=4, v(0)=0],
- > [x(0)=3, v(0)=0], [x(0)=2, v(0)=0]]);

$$ECc := [D(x)(t) = v(t), D(v)(t) = -D(x)(t) - \frac{17}{4}x(t)]$$

